

САНКТ-ПЕТЕРБУРГСКИЙ  
ГОСУДАРСТВЕННЫЙ УНИВЕРСИТЕТ

На правах рукописи

Александров Фёдор Игоревич

**РАЗРАБОТКА ПРОГРАММНОГО КОМПЛЕКСА  
АВТОМАТИЧЕСКОГО ВЫДЕЛЕНИЯ И  
ПРОГНОЗА АДДИТИВНЫХ КОМПОНЕНТ  
ВРЕМЕННЫХ РЯДОВ  
В РАМКАХ ПОДХОДА “ГУСЕНИЦА”-SSA**

05.13.18 — Математическое моделирование,  
численные методы и комплексы программ

**АВТОРЕФЕРАТ**

диссертации на соискание ученой степени  
кандидата физико-математических наук

Санкт-Петербург  
2006

Работа выполнена на кафедре статистического моделирования  
математико-механического факультета  
Санкт-Петербургского государственного университета

Научный руководитель: доктор физико-математических наук,  
профессор Ермаков Сергей Михайлович

Официальные оппоненты: доктор физико-математических наук,  
профессор Егоров Владимир Алексеевич  
  
доктор физико-математических наук,  
доцент Тайбин Борис Залманович

Ведущая организация: Санкт-Петербургский государственный  
политехнический университет

Защита состоится “\_\_\_” \_\_\_\_\_ 2006 г. в \_\_\_ часов  
на заседании диссертационного совета Д 212.232.51 по защите диссертаций  
на соискание ученой степени доктора наук при СПбГУ по адресу:  
198504, Санкт-Петербург, Старый Петергоф, Университетский пр., 28.

С диссертацией можно ознакомиться в научной библиотеке  
им. М. Горького СПбГУ по адресу: 199034, Санкт-Петербург, Универ-  
ситетская наб., 7/9.

Автореферат разослан “\_\_\_” \_\_\_\_\_ 2006 г.

Ученый секретарь  
диссертационного совета,  
доктор физ.-мат. наук,  
профессор

Мартыненко Б. К.

## ОБЩАЯ ХАРАКТЕРИСТИКА РАБОТЫ

**Актуальность темы.** Работа посвящена:

- разработке математических методов автоматической идентификации для задач выделения и прогноза аддитивных составляющих одномерных временных рядов в рамках общего подхода “Гусеница”-SSA;
- созданию на их базе алгоритмов, позволяющих решать задачи выделения аддитивных составляющих ряда как интерактивно, так и при пакетной обработке данных, и реализация их в виде программного комплекса;
- исследованию качества данных алгоритмов при решении поставленных задач;
- исследованию метода оценки коэффициентов линейной рекуррентной формулы, управляющей сигналом временного ряда для случая, когда ряд соответствует модели “сигнал плюс шум”.

Актуальность темы следует из:

- практической значимости задач выделения и прогноза аддитивных составляющих одномерных временных и пространственных рядов в различных областях прикладной науки;
- необходимости автоматизации решения этих задач как при работе с одним рядом, так и для пакетной обработки;
- отсутствия на данный момент методов и алгоритмов, позволяющих решать данные задачи в рамках подхода “Гусеница”-SSA.

**Целью работы** является: 1) разработка новых теоретически обоснованных методов для выделения и прогноза таких аддитивных составляющих временных рядов как тренд и периодические составляющие; 2) разработка алгоритмов для автоматической обработки временных рядов на основе предложенных методов и реализация этих алгоритмов на ЭВМ; 3) статистическое исследование данных алгоритмов; 4) исследование методов оценки параметров сигнала ряда.

**Методика исследования** включает в себя применение подхода “Гусеница”-SSA, теорию сингулярного разложения матриц, использование свойств их собственных значений и собственных векторов, основы

обработки цифровых сигналов, методы разложения Фурье, регрессионные методы. Численные оценки получались с помощью методов статистического моделирования. Для реализации алгоритмов использовались средства программирования Microsoft Visual C++ и Matlab.

**Научная новизна.** В работе получены следующие результаты:

- разработаны математические методы автоматического выделения и прогноза тренда и периодической составляющей ряда, управляемые заданием параметров и пороговых значений;
- описаны рекомендации по выбору параметров методов исходя из специфики поставленной задачи и предложены способы выбора пороговых значений для рассматриваемого ряда;
- на модельных примерах с помощью статистического моделирования исследовано качество предоставляемой автоматизации в рамках подхода “Гусеница”-SSA и качество получаемой аппроксимации;
- представлено решение задачи выделения тренда для множества рядов, исследованы вопросы проверки работоспособности методов в данном случае;
- проведено статистическое сравнение метода оценки коэффициентов линейной рекуррентной формулы, основанного на подходе “Гусеница”-SSA с регрессионным методом, основанным на оценке метода наименьших квадратов.

**Практическая ценность.** Предложенные алгоритмы выделения аддитивных составляющих могут быть использованы на практике для эффективного решения задач обработки как временных, так и пространственных рядов. Исследованные методы не только упрощают работу с методом “Гусеница”-SSA, но и позволяют расширить его применение на задачи автоматизированной (в частности, неинтерактивной) обработки данных.

**Апробация работы.** Основные результаты обсуждались на:

- семинарах кафедры статистического моделирования математико-механического факультета Санкт-Петербургского государственного университета;
- семинаре Time Series group в Astronomical Institute of Tübingen

(Тюбинген, Германия, март 2005);

- семинарах в Zentrum für Technomatematik, Bremen University (Бремен, Германия, март 2005, март 2006);

и докладывались на

- международной конференции System Identification and Control Problems'05, (Москва, январь 2005);
- международном семинаре 5th Workshop on Simulation (Санкт-Петербург, июнь 2005);
- международном семинаре Workshop on nonlinear and nonstationary time series in Kaiserslautern (Кайзерслаутерн, Германия, сентябрь 2005);
- международном симпозиуме 26th International Symposium on Forecasting (Сантандер, Испания, июнь 2006).

Работа над диссертацией была частично поддержана стипендией Правительства РФ для аспирантов за 2005-2006 гг. и грантами CRDF № RUB1-1556-ST-05, № RUB1-1643-ST-06.

**Публикации.** Основные результаты диссертации опубликованы в работах [1-5]. В совместных работах диссертанту принадлежит выбор методов решения, доказательства теорем и численное моделирование, а соавтору Голяндиной Н.Э. — постановки задач [1,4], а также идея метода низких частот идентификации трендовых составляющих [1] и описание схемы расчёта оптимальных пороговых значений для временных рядов фиксированной модели [2].

**Структура и объем работы.** Диссертация объёмом 152 страницы состоит из введения и четырёх глав, разбитых на разделы и параграфы. Содержит 145 рисунков, 36 таблиц и список цитируемой литературы из 69 наименований.

## СОДЕРЖАНИЕ РАБОТЫ

Во **введении** приводится обоснование актуальности темы диссертации, формулируется цель и задачи работы, а также кратко описывается структура диссертации.

Основным объектом исследования является *одномерный временной ряд* – последовательность вещественных чисел  $F = (f_0, f_1, \dots, f_{N-1})$  длины  $N$ . Обычно это наблюдения в равноотстоящие моменты времени, но, несмотря на название, эта последовательность может иметь другую природу. Примеры пространственных рядов приводятся в диссертации. Предполагаем, что ряд состоит из суммы аддитивных составляющих, из которых наиболее интересны тренд ( $F^{(T)}$ ) и периодическая составляющая с некоторым периодом ( $F^{(P)}$ ):

$$F = F^{(T)} + F^{(P)} + F^{(R)}, \quad f_n = f_n^{(T)} + f_n^{(P)} + f_n^{(R)},$$

где в качестве  $F^{(R)}$  обозначаем остаток, являющийся реализацией некоторой случайной последовательности.  $F^{(R)}$  соответствует шуму, который имеет случайную природу и часто присутствует в наблюдениях. *Трендом* будем называть медленно меняющуюся составляющую ряда (для определённости полагаем, что она не является периодической). *Периодическую составляющую*  $F^{(P)}$  с периодом  $T$  ( $T \geq 2$ ) определим следующим образом:

$$f_n^{(P)} = \sum_{k=1}^{\lfloor T/2 \rfloor} A_k e^{\alpha_k n} \cos(2\pi nk/T + \phi_k), \quad \alpha_k, A_k \in \mathbb{R}, \phi_k \in [0, 2\pi). \quad (1)$$

Основной задачей является выделение из известного ряда  $F$  неизвестных составляющих  $F^{(T)}$  и  $F^{(P)}$ . Целью диссертации является разработка методов для решения этой задачи, которые можно использовать для автоматизированной обработки рядов. Для этого используется общий подход исследования временных рядов “Гусеница”-SSA.

**Первая глава** содержит информацию о подходе “Гусеница”-SSA, которая потребуется для решения поставленных задач. В рамках этого подхода описываются уже существующие интерактивные способы решения задач выделения тренда и периодических составляющих временных рядов, а также рассматриваются условия, при которых возможно решение этих задач.

Для того чтобы выделить аддитивную составляющую ряда  $F$  длины  $N$ ,  $F = F^{(1)} + F^{(2)}$ , в подходе “Гусеница”-SSA по ряду  $F$  строится *траекторная матрица*  $\mathbf{X}$  заданного размера  $L \times K$ ,  $1 < L < N$ ,  $K = N - L + 1$  ( $L$  называется длиной окна), вычисляются собственные числа  $\{\lambda_k\}_{k=1}^L$ ,

собственные  $\{U_k\}_{i=k}^L$  и факторные  $\{V_i\}_{i=k}^L$  вектора матрицы  $\mathbf{X}\mathbf{X}^T$ , формируя *сингулярное разложение*  $\mathbf{X} = \sum_k \mathbf{X}_k$ ,  $\mathbf{X}_k = \sqrt{\lambda_k} U_k V_k^T$ . Набор  $(\sqrt{\lambda_k}, U_k, V_k)$  будем называть *k-ой собственной тройкой*.

Затем выделяется группа собственных троек с номерами из некоторого  $\mathcal{I}$  и определяется матрица  $\mathbf{X}^{(1)} = \sum_{k \in \mathcal{I}} \mathbf{X}_k$ , по которой восстанавливается требуемая составляющая  $\tilde{F}^{(1)}$  с помощью диагонального усреднения (ганкелизации).

Эта схема имеет параметр – длину окна  $L$  и управляется выбором группы компонент  $\mathcal{I}$ , процесс этого выбора будем называть *идентификацией*. Нашей основной задачей будет автоматизация идентификации при решении поставленных задач.

Во **второй главе** предлагается и исследуется метод автоматического выделения тренда.

В разделе 2.1 приводятся данные, необходимые для определения тренда на языке разложения Фурье. Для элементов ряда  $F$  вводится *периодограмма*  $\Pi_F^N$ , определённая на дискретном множестве частот:

$$\Pi_F^N(\omega) = \frac{1}{N} \left| \sum_{n=0}^{N-1} e^{-i2\pi\omega n} f_n \right|^2, \quad \omega \in \{k/N\}_{k=0}^{\lfloor N/2 \rfloor}.$$

Так как по определению тренд – это последовательность, элементы которой медленно меняются, то его периодограмма в некоторой низкочастотной области будет иметь большие значения по сравнению с её значениями на остальной части частотного интервала  $[0, 0.5]$ , причём периодограммы собственных векторов, соответствующих тренду, обладают этим же свойством.

Введём  $\omega_0$  – границу интервала низких частот и в разделе 2.2 построим *метод низких частот* идентификации трендовых собственных троек, который для каждого собственного вектора будет проверять, достаточно ли велик вклад значений его периодограммы на интервале  $[0, \omega_0]$ . Критерий идентификации собственного вектора  $U \in \mathbb{R}^L$  выглядит так:

$$\frac{\sum_{0 \leq \omega \leq \omega_0} \Pi_U^L(\omega)}{\sum_{0 \leq \omega \leq 0.5} \Pi_U^L(\omega)} \geq \mathcal{C}_0, \quad \omega \in \{k/N\}_{k=0}^{\lfloor N/2 \rfloor},$$

где  $\mathcal{C}_0$  – пороговое значение метода. На основе этого метода построен алгоритм TREND для выделения тренда ряда, параметрами которого являются  $L$ ,  $\omega_0$  и пороговое значение  $\mathcal{C}_0$ .

В разделе 2.3 изучается проблема выбора  $\omega_0$  и предлагаются варианты её решения в зависимости от специфики поставленной задачи и имеющейся информации о ряде. Основной способ состоит в исследовании периодограммы исходного ряда  $F$ , так как в утверждении 2.1 доказано, что в случае, если  $F = G + H$ :

$$|\Pi_{G+H}^N(k/N) - \Pi_G^N(k/N) - \Pi_H^N(k/N)| \leq 2\sqrt{\Pi_G^N(k/N)\Pi_H^N(k/N)}. \quad (2)$$

Так как, в отличие от периодограмм других составляющих, периодограмма тренда имеет большие значения в низкочастотном интервале, то из (2) следует, что, при наличие в ряде тренда, значения  $\Pi_F^N$  в низкочастотном интервале также будут большими.

В разделе 2.4 проводится статистическое исследование алгоритма TREND для решения задачи выделения экспоненциального тренда в присутствии белого нормального шума с изменяющейся дисперсией. Для такого ряда можно имитировать процедуру визуального выделения тренда, так как известно, что тренду в этом случае соответствует первая собственная тройка ( $\mathcal{I} = \{1\}$ ). Показано, что при наилучшем в среднем пороговом значении  $\mathcal{C}_0$ , во-первых, результаты алгоритма TREND близки к результатам имитированной визуальной (интерактивной) процедуры идентификации, и, во-вторых, качество предоставляемой им аппроксимации достаточно высоко. Качество оценивается с помощью как среднеквадратичной ошибки  $\|F^{(T)} - \tilde{F}^{(T)}(\mathcal{C}_0)\|_2^2$  (где  $\tilde{F}^{(T)}(\mathcal{C}_0)$  – тренд, выделенный с помощью TREND с  $\mathcal{C}_0$ ), так и вероятности ошибки идентификации первого рода – когда  $\mathcal{I}(\mathcal{C}_0) \not\subset \mathcal{I}$  (где  $\mathcal{I}(\mathcal{C}_0)$  – группа идентифицированных с помощью TREND с  $\mathcal{C}_0$  компонент).

Таким образом, установлено, что при некотором  $\mathcal{C}_0$  процедура TREND действительно может быть использована для автоматического выделения тренда, и встаёт проблема выбора  $\mathcal{C}_0$ .

Далее исследуется вопрос оценки качества результата алгоритма TREND и в разделе 2.6 предлагается некоторая мера качества  $\mathcal{R}(\mathcal{C}_0)$ , которая рассчитывается только по результату,  $\tilde{F}^{(T)}(\mathcal{C}_0)$ , и для которой показано, что в рассмотренных модельных случаях она согласована с



$\|F^{(T)} - \tilde{F}^{(T)}(C_0)\|_2$  таким образом, что используя меру  $\mathcal{R}(C_0)$ , можно выбрать такое пороговое значение  $C_0$ , что при нём идентифицируются все компоненты тренда. Предлагается алгоритм TRRMEAS, использующий процедуру TREND с  $C_0$ , выбранным с помощью  $\mathcal{R}(C_0)$ .

В разделе 2.7 рассматривается случай, когда известна стохастическая модель остатка (шума). Показано, как при этом можно сузить область поиска порогового значения  $C_0$  и тем самым увеличить надежность процедуры поиска  $C_0$ .

В разделе 2.8 приводятся примеры выделения тренда с помощью алгоритма TRRMEAS для реальных рядов: ежемесячный уровень безработицы в различных штатах США и уровень экспрессии некоторых генов плодовой мушки *Drosophila*. Два примера изображены на рис. 1.

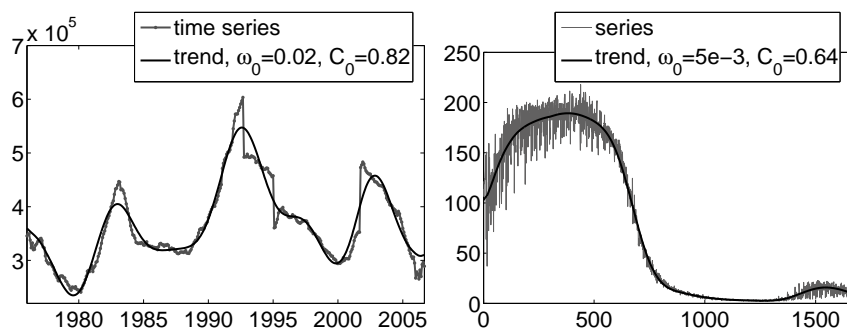


Рис. 1: Уровень безработицы во Флориде (слева) и пространственное распределение уровня экспрессии гена *hunchb* в эмбрионе плодовой мушки *Drosophila* (справа), тренды выделены с помощью TRRMEAS

Для того чтобы применять алгоритм TRRMEAS к ряду, необходимо, чтобы выполнялись некоторые требования, обусловленные свойствами как подхода “Гусеница”-SSA, так и метода низких частот и способа выбора  $C_0$ . Не имея информации о модели ряда, проверить эти требования невозможно, и применение алгоритма TRRMEAS, строго говоря, необоснованно. В разделе 2.9 исследуется эта проблема и рассматривается случай, для которого возможно проверить обоснованность применения TRRMEAS – обработка множества рядов. Описывается математическая

модель для этой задачи, и выводятся необходимые требования однородности для рядов из обрабатываемого множества.

В разделе 2.10 предлагается алгоритм TRFORE автоматического прогноза тренда ряда, основанный на методе низких частот. Данный алгоритм использует линейно-рекуррентное представление тренда, которое может быть найдено по идентифицированным компонентам  $\mathcal{I}(\mathcal{C}_0)$ . С помощью статистического моделирования изучается проблема выбора для него порогового значения  $\mathcal{C}_0$  и на примере экспоненциального тренда показано, что наилучшие в среднем пороговые значения  $\mathcal{C}_0$  для аппроксимации и для прогноза – совпадают. Это позволяет пользоваться при прогнозе тренда теми же методами выбора  $\mathcal{C}_0$ , что и при аппроксимации. Как и для случая аппроксимации, показано, что при наилучшем в среднем  $\mathcal{C}_0$  результаты алгоритма прогноза близки к результатам имитируемой визуальной процедуры идентификации, и что качество предоставляемого алгоритмом TRFORE прогноза достаточно велико.

**Третья глава** посвящена автоматическому методу выделения периодической составляющей ряда.

Задача выделения периодической составляющей сильно отличается от задачи выделения тренда. Периодическая составляющая представляет собой известную параметрически-заданную функцию (1), в то время как тренд определялся по косвенному признаку – вкладу гармоник с низкими частотами.

Известно, что при выполнении определённых условий *экспоненциально-модулированная (э-м) гармоническая составляющая* с частотой  $\omega$  (или просто *э-м гармоника*),  $n$ -ый элемент которой задаётся так:

$$Ae^{\alpha n} \cos(2\pi n\omega + \phi), \quad \alpha, A \in \mathbb{R}, \phi \in [0, 2\pi),$$

порождает две собственных тройки (одну, если  $\omega = 0.5$ ), элементы собственных векторов  $U_j = (u_1^{(j)}, u_2^{(j)}, \dots, u_L^{(j)})$  которых также задаются э-м гармонической функцией с теми же  $\omega$  и  $\alpha$ , причём одному соответствует э-м синус, а другому – э-м косинус. При более слабых условиях это будет выполняться приближённо.

Пользуясь этим фактом, построим в разделе 3.2 *метод Фурье* для идентификации собственных векторов э-м гармоника, основанный на

исследовании периодограмм последовательностей их элементов  $\Pi_{U_j}^L$ . Метод Фурье состоит из двух частей, в первой для пар векторов вида  $U_i, U_{i+1}$  проверяется, что максимумы их периодограмм совпадают или достаточно близки:

$$L|\theta_i - \theta_{i+1}| \leq s_0, \quad \theta_j = \arg \max_{0 \leq k \leq L/2} \{\Pi_{U_j}^L(k/L)\}, \quad (3)$$

где  $s_0 \in \mathbb{Z}_+$  – пороговое значение. Во второй – для найденных пар векторов проверяется, что значение максимума превышает уровень, необходимый для того, чтобы они соответствовали  $\varepsilon$ -м гармонике:

$$\max_{0 \leq k \leq L/2} \{\Pi_{U_i}^L(k/L) + \Pi_{U_{i+1}}^L(k/L)\} \geq 2\rho_0, \quad (4)$$

где  $\rho_0 \in [0, 1]$  – пороговое значение. На основе этого метода идентификации предлагается алгоритм PER выделения  $\varepsilon$ -м гармонической составляющей ряда, параметрами которого являются  $L, s_0$  и  $\rho_0$ . В разделе также численно и аналитически изучается поведение критериев (3), (4) для  $\varepsilon$ -м гармоник с разными параметрами  $\omega, \alpha$ , и показано, что в большинстве случаев можно брать  $s_0 = 1$ .

В разделе 3.3 проводится проверка алгоритма PER с помощью статистического моделирования для модели  $\varepsilon$ -м гармоник с белым нормальным шумом с изменяющейся дисперсией, причём схема исследования совпадает с использованной для TREND ранее. В нём показано, что при наилучшем в среднем  $\rho_0$  алгоритм обеспечивает хорошее качество аппроксимации, а также исследуется изменение качества с тем, чтобы сформулировать принципы выбора  $\rho_0$ .

В следующих разделах описаны способы выбора  $\rho_0$  при решении задачи выделения  $\varepsilon$ -м гармонической компоненты с помощью алгоритма PER. Предлагается аналитический метод, позволяющий выбрать  $\rho_0$  для выделения  $\varepsilon$ -м гармоник с известным  $\alpha$  при условии, что  $L\omega \in \mathbb{N}$ . Этот метод заключается в использовании для  $\varepsilon$ -м гармонической последовательности с частотой  $\omega$  оценки значения суммы периодограмм её собственных векторов в точке  $\omega$ , которая была получена в разделе 3.2.2:

$$\Pi_{U_i}^L(\omega) + \Pi_{U_{i+1}}^L(\omega) \approx \frac{4(e^\gamma - 1)}{\gamma(e^\gamma + 1)}, \quad \text{где } \gamma = L\alpha.$$

Однако то, что  $\alpha$  зачастую неизвестно, а также накладываемое ограничение  $L\omega \in \mathbb{N}$  и другие причины делают этот метод полезным только

в частных случаях. Поэтому далее предлагается эмпирический метод выбора  $\rho_0$ . На его основе предлагается алгоритм PEREMP автоматического выделения гармоник, параметрами которого являются:  $L$  и  $A$  – ограничение снизу на амплитуду искомой гармоники. При выделении  $\varepsilon$ -м гармоники алгоритм можно сделать более точным, задав ограничение снизу на  $\alpha$  и приблизительное значение частоты искомой  $\varepsilon$ -м гармоники  $\omega$ , если они известны.

Там же приведено статистическое исследование алгоритма PEREMP, которое подтверждает хорошее качество данного алгоритма как для модели  $F^{(P)} + F^{(\varepsilon)}$ , где  $F^{(\varepsilon)}$  – шум, так и в присутствии некоторого тренда:  $F^{(T)} + F^{(P)} + F^{(\varepsilon)}$ .

Так как периодическая составляющая с периодом  $T$  состоит из суммы  $\varepsilon$ -м гармонических компонент с частотами вида  $k\omega$ ,  $\omega = 1/T$  (см. (1)), то для её выделения необходимо уметь оценивать частоту найденной  $\varepsilon$ -м гармонической компоненты. В разделе 3.6 рассмотрен метод оценки частоты, который использует линейное рекуррентное представление  $\varepsilon$ -м гармоники  $f_n = Ae^{\alpha n} \cos(2\pi\omega n + \phi) = a_1 f_{n-1} + a_2 f_{n-2}$ :

$$\omega(a_1, a_2) = (2\pi)^{-1} \arccos(a_1(2\sqrt{a_2})^{-1}). \quad (5)$$

В разделе 3.7 приводится пример применения алгоритма PEREMP к ряду, содержащему данные о ежемесячном уровне потребления электроэнергии в США. Приводится решение задачи разложения ряда на тренд, сезонную составляющую (периодическую составляющую с периодом  $T \approx 12$ ) и остаток, см. рис. 2.

В разделе 3.8 представлен алгоритм автоматического прогноза периодической составляющей и, как и в главе 2, с помощью статистического моделирования показано, что данный алгоритм при наилучшем в среднем  $\rho_0$  близок к имитированному визуальному (интерактивному) прогнозу и что это пороговое значение близко к наилучшему в среднем  $\rho_0$  для аппроксимации. Это позволяет использовать при прогнозе уже сформулированные ранее для аппроксимации методы выбора  $\rho_0$ .

**Четвертая глава** посвящена задаче оценки коэффициентов линейной рекуррентной формулы (ЛРФ) сигнала ряда, где ряд  $F = (f_0, \dots, f_{N-1})$  соответствует модели “сигнал плюс шум”. Исследу-

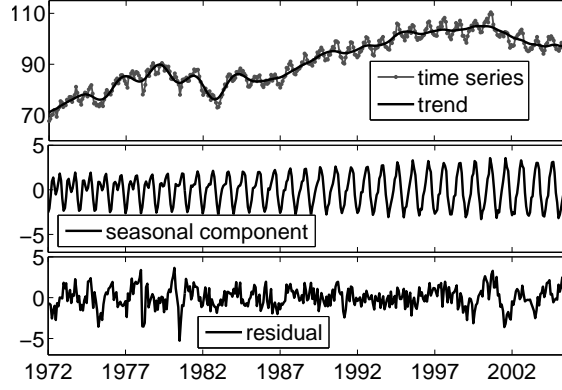


Рис. 2: Ежемесячный уровень потребления электроэнергии в США, тренд выделен с помощью TRRMEAS, сезонная составляющая – с помощью PEREMP с параметрами  $L = 198$ ,  $A = 1$

ется случай, когда сигнал представляет собой гармонику:

$$f_n = s_n + \varepsilon_n, \quad s_n = A \sin(2\pi\omega n + \phi),$$

которой в рекуррентной записи соответствует ЛРФ порядка 2 (то есть  $s_n = a_1 s_{n-1} + a_2 s_{n-2}$ ), а остаток  $(\varepsilon_0, \dots, \varepsilon_{N-1})$  – реализация белого нормального шума, каждый элемент которого распределён по  $N(0, \sigma^2)$ . Ставится задача оценки коэффициентов  $a_1$ ,  $a_2$  и через них частоты  $\omega$  по (5).

В разделе 4.1 описаны два метода оценки  $a_1$ ,  $a_2$ . Первый, SSALRF, основан на подходе “Гусеница”-SSA, с помощью которого находится ЛРФ порядка 2 для сигнала. Второй метод, REGR, использует регрессионную запись для  $f_n$  и оценивает коэффициенты  $a_1$ ,  $a_2$  по методу наименьших квадратов.

Методы сравнивались с помощью статистического моделирования рядов  $F$ , для которых оценивались  $a_1$  и  $\omega$  и для каждого метода и параметра рассчитывались: абсолютное отклонение выборочного среднего от настоящего значения и выборочная дисперсия. Исследования проводились при различных значениях  $N$ ,  $\sigma$ , причём при фиксирован-

ном значении одного из них другой изменялся с заданным шагом.

Метод SSALRF в достаточно большой области параметров показал результаты лучшие, чем метод REGR (при не слишком больших  $\sigma$  или при достаточно большом  $N$ ), что видно на рис. 3, на котором изображены результаты при  $N = 60$ ,  $\omega = 1/6$ ,  $A = 1$ ,  $\phi = 0$ , оцененные на  $10^4$  реализациях.

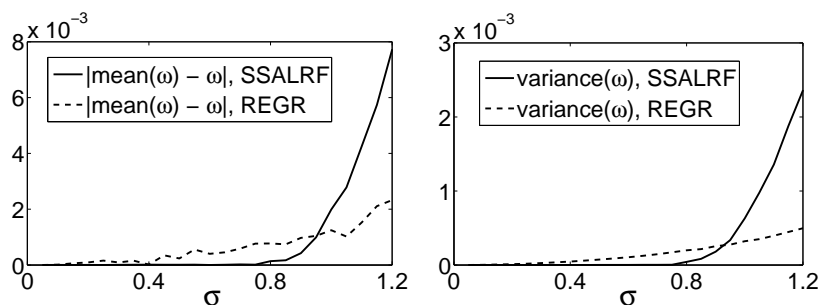


Рис. 3: Зависимость от стандарта шума  $\sigma$  характеристик оценок  $\omega$  алгоритмами SSALRF и REGR

#### Основные положения диссертации, выносимые на защиту.

- Разработаны математические методы автоматической идентификации собственных троек, соответствующих тренду или периодическим составляющим в рамках подхода “Гусеница”-SSA;
- Созданы и реализованы в виде программного комплекса алгоритмы выделения тренда и периодических составляющих, использующие предложенные методы;
- Рассмотрены способы выбора параметров и пороговых значений алгоритмов;
- Проведено статистическое исследование качества работы алгоритмов при наилучших в среднем пороговых значениях;
- Построена математическая модель применения алгоритма выделения тренда к множеству рядов;
- Представлены результаты обработки временных и пространственных рядов с помощью предложенных алгоритмов;

- Выполнено статистическое сравнение подхода “Гусеница”-SSA и регрессионного метода при оценки коэффициентов ЛРФ порядка 2 для периодического сигнала.

### СПИСОК ОПУБЛИКОВАННЫХ РАБОТ ПО ТЕМЕ ДИССЕРТАЦИИ

1. **Александров, Ф. И.** Оценка коэффициентов линейной рекуррентной формулы порядка 2, управляющей сигналом / Ф. И. Александров // *Мат. модели. Теория и приложения.* — 2004. — вып. 5. — С. 50–61. — ISBN 5-9651-0082-5.
2. **Александров, Ф. И.** Выделение аддитивных компонент временного ряда при пакетной обработке методом “Гусеница”-SSA / Ф. И. Александров // *Вестник СПбГУ, Сер. 1. Математика. Механика. Астрономия.* — 2006. — № 2. — С. 71–74. — ISSN 1025-3106.
3. **Александров, Ф. И.** Автоматизация выделения трендовых и периодических составляющих временного ряда в рамках метода “Гусеница”-SSA / Ф. И. Александров, Н. Э. Голяндина // *Exponenta Pro. Математика в приложениях.* — 2004. — вып. 3-4. — С. 54–61.
4. **Александров, Ф. И.** Выбор параметров при автоматическом выделении трендовых и периодических составляющих временного ряда в рамках подхода “Гусеница”-SSA / Ф. И. Александров, Н. Э. Голяндина, IV Международная конференция “Идентификация систем и задачи управления” SICPRO’05, Москва, январь 2005 // *Труды IV Международной конференции “Идентификация систем и задачи управления”.* — М.: 2005. — С. 1849–1864. — ISBN 5-201-14975-8.
5. **Alexandrov, F.** Automatic extraction and forecast of time series cyclic components within the framework of SSA / F. Alexandrov, N. Golyandina, 5th St.Petersburg Workshop on Simulation, St.-Petersburg, June 2005 // *Proc. of the 5th St.Petersburg Workshop on Simulation.* — SPb.: 2005. — p. 45–50. — ISBN 5-9651-0102-3.